

## 湖沼の流動モデルに関する一考察

京都大学工学部

正員 合田 健

京都大学工学部

○渡辺 正孝

## 1. はじめに

近畿圏にとって琵琶湖は重要な水資源の一つであり、その保全が重要な課題として残されています。しかし近年琵琶湖の水質汚濁が進行し、特に南端においては水の富栄養化が進んでおり、これらでは各管用区をはじめ本底資源に多大の影響をおぼえていると思われます。したがって水質環境保全のための水質制御システムを早急に完成させが必要である。しかし現在湖沼の流動に関する理論的考察はあまりなされておらず、そのためには水質制御がうまく行なえずになります。ここではその基礎資料と1つの湖沼の流動について考察を加えてみます。

## 2. 基礎方程式

湖沼の流動については完全に海流と同じ性質であるとは言い切れない。しかし小河川の大半をもとと考えると不適確であり、むしろ海流の局所的なものと考える。仮定として、(1) 湖は shallow と考える、(2) 直方向の流速は水平方向の流速にくらべて無視し得るほど小さい、(3) 密度成層は無視する、(4) 深さとの時間的変化は無視、(5) momentum の水平方向の移動は無視する、(6) Nonlinear 項は無視する、(7) eddy viscosity は流体中で constant とする、(8) Coriolis force は constant と考える。x 軸、y 軸をそれぞれ南北、東西に正とす。

運動方程式は

$$\frac{\partial u}{\partial t} - fv = -\frac{1}{\rho} \frac{\partial p}{\partial x} + v \frac{\partial^2 u}{\partial z^2} \quad (1)$$

$$\frac{\partial v}{\partial t} + fu = -\frac{1}{\rho} \frac{\partial p}{\partial y} + v \frac{\partial^2 v}{\partial z^2} \quad (2)$$

f: coriolis force

v: 粘性係数 (eddy viscosity)

境界条件

$$u = v = 0 \quad \text{at rigid boundary} \quad (3)$$

$$v \frac{\partial u}{\partial z} \Big|_{z=0} = T_x, \quad v \frac{\partial v}{\partial z} \Big|_{z=0} = T_y \quad (4)$$

$$v \frac{\partial u}{\partial z} \Big|_{z=h} = T_{bx}, \quad v \frac{\partial v}{\partial z} \Big|_{z=h} = T_{by} \quad (5)$$

(1)～(5)式をもとに James A. Liggett の吹送流と 1 つの取扱いを行なっていき。この場合連続式としては  $\frac{\partial u}{\partial x} + \frac{\partial v}{\partial y} + \frac{\partial w}{\partial z} = 0$  を用いています。実際、湖端における場合は、その複雑な外的条件 (風と気压風、流入河川等) の影響を受けて可なり。この時連続式と 1 つの流入を考慮して式を用います。

$$\frac{\partial \Sigma}{\partial t} = - \left( \frac{\partial U}{\partial x} + \frac{\partial V}{\partial y} \right) + f B \quad (6)$$

$$U = \int_h^s u dz, \quad V = \int_h^s v dz,$$

$\Sigma$ : 平均水位  $h$  の変動量,  $B$ : 単位断面, 単位時間の流出入量.

(1), (2) 式を  $h$  の水面を  $z$  軸で積分すると, (6), (7) の条件を用い,  $3 < h < 6.6$  のとき  $f(h+3) \approx f(h)$  とすると基礎方程式は

$$\frac{\partial U}{\partial t} = -gh \frac{\partial \Sigma}{\partial x} + fV + \tau_x - \tau_{bx} \quad (7)$$

$$\frac{\partial V}{\partial t} = -gh \frac{\partial \Sigma}{\partial y} - fU + \tau_y - \tau_{by} \quad (8)$$

境界条件

$$U = V = 0 \quad (9)$$

3 に對する邊界条件とし, 境界上で  $U=V=0$  の条件下 (6) 式を計算差分表示すればよりなりる邊界条件とする.

### 3. 結果と考察

図1～図3に示すとおり3台矩形模型に

計算を行ってみた.

$$\Delta S = 5 \text{ km}, \quad f = 8.8 \times 10^{-5} \text{ rad/sec}$$

$$\tau(x,y) = f' g^2 W^2 \quad \text{ただし } f' = 0.5, \quad \text{Hank. W.H.} \\ \text{は } f' \text{ と } N_1^2 = 0.8 \times 10^{-3} \quad (W < 1.6 \text{ m/sec}), \quad N_1^2 = 2.6 \times 10^{-3} \\ (W > 6.6 \text{ m/sec}), \quad \rho' = \text{水面の空気密度}.$$

静止の状態より出発した.

しかし、計算過程においても下流に対する多くが不備を現出した. 現在これを改良して元に戻してみた.

(1) 地衡流近似を行った

(2) 2層もしくは多層モデルを仮定する.

以上(1)(2)の方法を参考して、(1)(2)からは現在計算中である.

この地盤密度の変化を考慮し、熱力学的法則とともに連立して解くべきであるが、今後今後の研究にゆずる.

### 参考文献

- 1) V. Walfrid Ekman "On the Influence of the Earth's Rotation on Ocean Current" Arkiv for Matematik, 1901
- 2) Pierre Welander "Wind action on a shallow Sea" Tellus, 1956
- 3) James A. Liggett "Methods of Calculating steady and Unsteady Currents in Homogeneous Lakes" A.S.C.E. 1969. Hydraulics, 75

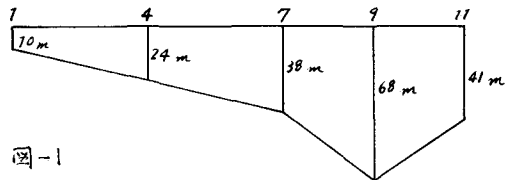


図-1

図-3 風向・風速

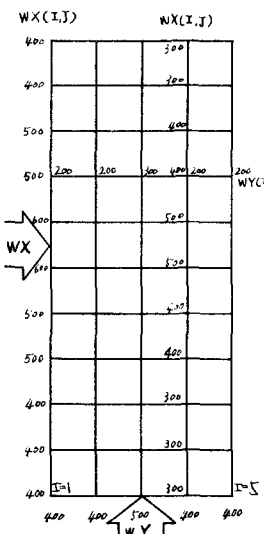


図-2 流入・流出量

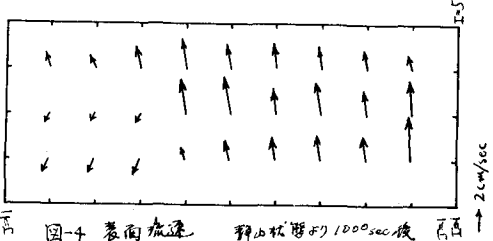
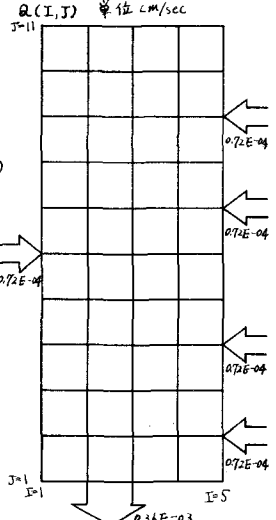


図-4 垂直流速 静止状態より1000sec後